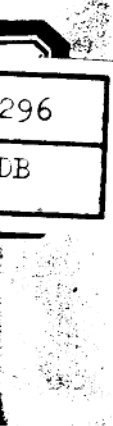


苏联顿巴斯物探队编
煤炭工业部专家工作室译

放射性測井法試驗



內容提要

这本小册子是根据苏联顿巴斯物探队所作的 γ - γ 测井法和中子 γ 测井法的試驗報告翻譯整理而成。

內容共分两部分：第一部分敘述 γ - γ 测井法，其中主要說明选定源强、源距、电纜提升速度、時間常数的原则，并且还提出进行曲綫解釋时，要把各种曲綫配合起来綜合进行解释；第二部分敘述了中子 γ 测井法的有关問題。

这本小册子适合地質勘探隊物探測井人員閱讀。

1215

放射性測井法試驗

煤炭工业部专家工作室譯

*

煤炭工业出版社出版(社址：北京东长安街煤炭工业部)

北京市書刊出版业營業許可証出字第084号

煤炭工业出版社印刷厂排印 新华書店发行

*

开本787×1092公厘 $\frac{1}{32}$ 印张 $\frac{1}{2}$ 插頁33 字数9,000

1959年7月北京第1版 1959年7月北京第1次印刷

统一書号：15035·891 印數：0,001—2,000册 定价：0.45元

目 录

緒論	2
第一章 γ - γ 測井法	3
第1节 工作方法和操作技术	3
第2节 γ - γ 測井曲線的性能	3
第3节 解释方法和工作結果	6
第二章 中子 γ 測井法	13
總結	15

緒論

頓巴斯物探队的阿尔泰莫夫电测队于1956年后半年开始中子 γ 测井法和 $\gamma-\gamma$ 测井法的試驗工作。这些工作自物探队成立以来尚是首次进行。

試驗工作的任务如下：

$\gamma-\gamma$ 测井法的目的是划分鑽孔的岩石柱状剖面，并从剖面中区分出煤层来。

中子 γ 测井法的目的与 $\gamma-\gamma$ 测井法相同。另外，还須了解是否可能用中子 γ 测井法来解决水文地質問題。

$\gamma-\gamma$ 测井法的初步試驗結果證明，用这一方法从剖面中查明煤层的效果很好，并能提高电测井曲綫解釋的单值性。由于实际資料不足，还不能全面地說明用 $\gamma-\gamma$ 测井法进行鑽孔的地質編录的可能性。

中子 γ 测井法可用来划分鑽孔的岩石剖面。

对于用这种方法解决水文地質問題的可能性，尤其是用以确定含水层的可能性，尚須进行专门的試驗。这种試驗由于尚未組織好，所以还没有进行。

試驗工作的主要工作量是在頓巴斯的中央区（尼克道夫地質勘探队勘探区）、奇斯恰科夫区和斯大林諾-馬基耶夫区完成的。中子 γ 测井法和 $\gamma-\gamma$ 测井法的試驗工作是在少数几个鑽孔中进行的。 $\gamma-\gamma$ 测井法曾在26个鑽孔中进行过試驗，这些鑽孔的总长度为10500公尺。中子 γ 测井法曾在7个鑽孔中进行过試驗，鑽孔总长度为4000公尺。

全部野外工作均是由电测队的技术員 A.B. 科尔巴科夫同志完成的。

第一章 γ - γ 测井法

第1节 工作方法和操作技术

試驗工作是用 PAPK 装置来完成的。为了記錄散射伽瑪射線的强度（下面把此强度簡称謂 γ - γ 测井的效果），曾采用了 γ 射線放射源(C^{60})，源强为 27 毫居里。放射源安裝在 PAPK 装置的源距箱內。

γ - γ 测井法采用了各种源强的放射源和各种尺寸的源距（由放射源到計数管中心的距离）。采用两个 BC-9 型計数管作为指示器。源距由 35 至 80 公分。記錄曲綫所采用的放射源为 1、3、6、9 和 27 毫居里。所完成的記錄的比例为 1:5，电位計的灵敏度为 0.2，時間常数为 6 秒，記錄的速度平均为 150—200 公尺/小时。在 1764 号鑽孔的某一小段内，曾用不同的速度和不同的時間常数进行了 γ - γ 测井試驗。曲綫的記錄是在提升井下仪器时进行的。

第2节 γ - γ 测井曲綫的性能

γ - γ 测井的第一批曲綫的記錄所用的放射源强为 27 毫居里，源距为 65—80 公分。現在，来看一下欧里霍瓦特斯克区 1729 号鑽孔的这些曲綫的性能（图 1）。

γ - γ 80 测井曲綫与 γ 测井曲綫有很多共同的地方（ γ - γ 测井曲綫記錄条件为 $M=2$, $Sh=0.2$, γ - γ 测井曲

綫則為 $M=1$, $Sh=0.2$)。但是, $\gamma-\gamma$ 測井曲綫上的最大值足可以將煤層查明(在 $\gamma-\gamma$ 測井曲綫上煤層以最小值示出)。剖面中的砂岩和石灰岩是以較低的值表示出來。在 $\gamma-\gamma 80$ 測井曲綫上見不到極明顯的最大值;對某些煤層的異常是不明显的、在某些情況下是一點也見不到(如煤層 $m 4^\circ$)。

$\gamma-\gamma$ 測井曲綫在煤層 $m 3$ 处獲得了極明顯的異常, 該煤層的厚度比源距大一倍。

將源距降低到 65 公分時即可以提高 $\gamma-\gamma$ 測井曲綫的質量($M=4$, $Sh=0.2$)。對煤層的異常就要明顯些, 但和尼克托夫斯克地質勘探隊的其他地區所測得的曲綫相比,還是不夠清楚的。

在尼克夫斯克地質勘探隊的伏羅希洛夫斯克深部區的 1500 号鑽孔中曾測了一組 $\gamma-\gamma$ 測井曲綫(圖 2), 其中包括: 源距為 65 及 50, 源強為 27 毫居里的 $\gamma-\gamma$ 曲綫; 源距為 35, 源強為 1.8 毫居里的 $\gamma-\gamma$ 曲綫; 源距為 45, 源強為 3 毫居里的 $\gamma-\gamma$ 曲綫。

源距為 65 公分的 $\gamma-\gamma$ 測井曲綫在個別情況下其最大值是明顯的, 而在另一些情況下則不清楚。

將源距減小到 50 公分, 則 $\gamma-\gamma$ 測井曲綫的形狀並不發生多大變化, 對煤層的異常相對強度仍和原來差不多。當然, 在記錄 $\gamma-\gamma 60$ 測井曲綫時, 如相應地採用低靈敏度($M=4$, $Sh=1$)時, 則 $\gamma-\gamma$ 曲綫的總效果是相當好的。

採用小容量的、源強為 3 毫居里的、源距為 45 公分的 $\gamma-\gamma$ 測井曲綫, 在总的方面和 $\gamma-\gamma-65, 50$ 的曲綫是一樣的。

另一种是很有意思的，这就是 γ - γ -65, 50, 45 等曲线在 400 公尺以内完全一样(图 2)。在较大的深度中，在 ГГК-45 和 ГГК-65-50 曲线之间可见到如下的差别：对所有曲线上的井径扩大的异常(深度为 316, 742, 465)有同样的强度，至于对于煤层的异常，在 γ - γ 65, 50 曲线上(图 3)相当大。

放射源强度为 8 和 1 毫居里的 γ - γ 35 曲线的特征和上述的曲线(图 2)相同。

在曲线的总背景值之上，在所有的情况下，可看到相同数量的异常，但其强度和形状则随着记录的条件不同而发生变化。

源强为 8 毫居里的 γ - γ 35 曲线比较明显，而源强为 1 毫居里所记录的 γ - γ 35 的曲线则不甚明显。两条曲线都受到了井径扩大的强烈影响，因为当由大源距过渡到小源距时，对井径扩大处异常的强度，已经超过了对煤层异常强度的增长。

根据对上述曲线(不同源距和不同源强的曲线)的分析，很难确定出记录曲线的最有效的条件。同时各个地区的条件也均有不同。采用小源距(35 公分)虽然可以利用强度不大的放射源，但这并不合理，因为井径变化对曲线有显著的影响。较合理的是采用强度大的放射源(但这对测井工作人员的健康是有害的)，因为这样可以得到煤层的足够效果和采用大的源距。

对于电测队工作人员的条件来说，可以采用源强为 3—6 毫居里、源距为 40—60 公分来进行 γ - γ 测井工作，并利用所得的结果来作解释。

在1500号鑽孔，曾用一个計數管對 γ - γ 曲綫的記錄進行了試驗。所得的曲綫(圖2)和上述的用兩個計數管所記錄的曲綫毫無區別。曲綫的形狀和幅度也都沒什麼變化。所以，對於實用的目的來看；如用一個(下部的)或兩個計數管時，標記的刻度值可以不變。當用一個或兩個計數管來記錄時，曲綫的形狀實際上可看成是不變的。在若干個鑽孔曾同時進行 γ - γ 曲綫和電流曲綫的記錄。後者電極高出下部計數管中心3公尺。所得的成果十分令人滿意。

在尼克托夫斯基地質勘探隊的1764號鑽孔曾進行了各種速度的 γ - γ 測井試驗。從圖6上可看出，速度對曲綫形狀的最大影響是，當記錄的速度大於200公尺/小時時，可看到一種強度較小而且極不清楚的異常，甚至可能完全看不出來。

根據我們試驗的結果看來，最適合的記錄速度為150公尺/小時。

當完成各種時間常數的工作時(圖5)，可看到當記錄的時間常數 $t=6$ 秒時，所得的曲綫最清楚。當 $t=24$ 秒時，所得的曲綫最模糊。應當注意，時間常數 $t=6$ 秒時，允許採用最高的記錄速度。 γ - γ 測井是在速度為150—200公尺/小時、 $t=6$ 秒時完成的。

第3節 解釋方法和工作結果

a) 物理前提

γ - γ 測井曲綫解釋的根據是這種方法的物理實質，該方法的理論依據是由賈齊金同志提出來的。在理論上證明

了散射 γ -射线的强度取决于岩石的密度。

根据我們的試驗确定了并証实了密度小的岩石形成强的散射 γ -射线；反之，密度大的岩石在 γ - γ 測井曲綫上形成小的异常，或者沒有异常。

在頓巴斯煤田，围岩的密度为2.0—2.7，煤层的密度为1.3—1.6。这就說明了 γ - γ 測井曲綫上的煤层在上述围岩中应有最大值，其异常的幅度要比围岩大一倍。由于围岩的密度沿鑽孔断面的变化范围不大，就不可能根据 γ - γ 測井曲綫来进一步区分围岩。此外，采用最小的記錄比例($M = 5$)会使 γ - γ 測井曲綫划分界面的能力减弱。在个别情况下，还有可能将剖面中密度为2.9—3.0的致密結晶石灰岩划分出。

考慮到該方法的物理實質以及 γ - γ 測井法的作用半径为几十公分时，應該注意到，井径的变化对 γ - γ 測井的效果有很大的影响。

鑽孔直径的局部增大，会使 γ - γ 測井曲綫获得大的异常。它类似由煤层所引起的高异常一样。这是由于将井径加大后，就大大地降低了該范围內的岩石密度。

综合上述情况，同时还应指出， γ - γ 測井在目前对于在鑽孔剖面中查明煤层来講，它不是单值的，因此，对 γ - γ 測井曲綫进行解释时，应当与电測曲綫和井径曲綫一同来进行。

6) 解释方法及工作結果

从 γ - γ 測井法的物理前提可以明显地看出：煤层位置

及井径局部加大处在 γ - γ 曲线上能表现出异常来。因此， γ - γ 测井曲线的异常需要与视电阻率曲线及井径曲线一起来进行解释。

煤层异常有时不能按照电测曲线分别进行单值的区分（无烟煤可能是例外），但可以按照视电阻率曲线和 γ - γ 测井曲线最大值的结合来进行确定。如 γ - γ 测井曲线及视电阻率曲线取得最大值，而实际却没有煤，这种情况是很少见的。因为由于机械强度高而在视电阻率曲线上具有最大值的岩层，一般不会产生井径的扩大。

按以上所述，我们来分析一些下面的实际例子：

1500号鑽孔的 γ - γ 35、50、45 测井曲线的异常（图3）与梯度、电位电极系视电阻率曲线一起来解释是很可靠的。全部的异常均按视电阻率曲线梯度电极系和 γ - γ 曲线的最大值的结合进行划分。这种解释①是按照电测曲线进行的。

1¹ 岩层在视电阻率曲线上表现得不清楚，而在 γ - γ 35 曲线上该层则表现为强烈的异常。

1² 岩层被钻孔打丢了。在视电阻率曲线和 γ - γ 曲线上见到强烈的最大异常，这就证明了在剖面中有该层存在。从 γ - γ 测井曲线的形状中产生一个问题：假定在 γ - γ 测井曲线上异常仅是由煤层引起的，则煤层的厚度应该相当大，在 γ - γ 65 测井曲线上由煤层引起的异常亦应最大。实际上并未见到此种最大的异常。在 γ - γ 45 测井曲线上，异常是很强烈的，而煤层的异常幅度却相对地变小。

① 指确定厚度、深度而言——校者注。

很明显，在 γ - γ 45测井曲线上，幅度的异常是由煤层和井径扩大的影响共同引起的。

煤层底板的井径扩大处在视电阻率曲线上没有异常反映。而煤层则以最大值表现出来。

对 l_7' 、 l_5' 及 l_4'' 号煤层以上的 γ - γ 45、50、65测井曲线的分析证明，所研究的最大值，当源距为45公分时，是由煤层及井径扩大的同时影响所形成的。但是当源距增大到50、65公分时，煤层的影响就超过了井径扩大处的影响。

在 γ - γ 45测井曲线上可以看到，井径扩大处的影响较大，而煤层的影响却相对地变小(图3)。

因此可得出结论：源距为45公分、源强为8毫居里的结合，对于调查有大量井径扩大处的鑽孔是不能采用的。为了减小井径扩大的影响，必须采用大的源距(60—70公分)，因而也要采用大的源强。对于中央区和斯大斯諾馬基耶夫区的某些勘探区的条件，正如工作经验所表明的那样，如用6毫居里的源强和50公分的源距配合起来，可获得令人满意的結果(图10)。

在解释煤层的异常时，虽然异常底部的宽度证明有井径扩大的现象，但由于没有井径曲线，所以没有显示出井径扩大处。

在深740及817公尺处，以及在深680—684公尺处(图3)， γ - γ 测井曲线的异常是由井径扩大所引起的，因为在视电阻率曲线上，没有异常。相反，在深770及942公尺处，在视电阻率曲线上，异常却是由致密的岩石引起的，因为在 γ - γ 测井曲线上没有反映。

图2的曲线可以用同样的方法来解释。

按照 γ - γ 曲线在剖面上划分岩层的可能性不太大，因为记录的比例较小，致使围岩曲线反映不明显。

用更大一些的比例($M=2$)进行记录，能使 γ 测井曲线在总的形状上与视电阻率曲线相似，因而对总的岩石区分可以比较清楚，但这时对于煤层的区分较差。1729号鑽孔的 γ - γ -80电测曲线即为其一例(图1)。

在 γ 测井曲线上，可根据反映较小的值把石灰岩和砂岩区分出来。在 γ - γ -80曲线上，煤层可用最大值区分出来，而在 γ 测井曲线上煤层可以用最小值区分出来，或者分不出来。

/ γ - γ 测井曲线的最大值亦与孔径的扩大相一致(图1的井径曲线)。

上述情况証明了大部分煤层是会产生扩孔現象的，由于在煤层埋藏的地点具有大量扩孔現象，这样就使 γ - γ 曲线产生很大的誤差。因为在 γ - γ 测井曲线上，煤层处的扩孔現象能影响 γ - γ 测井曲线的分层能力。这种情况有如1729号鑽孔的I₁煤层(图1)和1500号鑽孔深400公尺处的煤层(图2)。該两煤层在 γ - γ 测井曲线上沒有什么反映。

在 γ - γ 测井曲线上，因发生事故而留在鑽孔内的套管反映为最小值。这是1729号鑽孔的例子(图1)。在該孔内，深265—300公尺处的套管被 γ - γ 测井曲线区分得最清楚。 γ - γ 测井曲线不受套管的影响。

异常最强烈的煤层是其厚度等于或大于源距的煤层。

这种实例有 1729 号鑽孔的 m_3 层(图 1), 1500 号鑽孔的 h_1 、 l_1'' 、 l_4'' 、 l_5 、 l_7' 层(图 3) 及 1594 号鑽孔的 h_8 层(图 6)。在 γ - γ 测井曲线上, 复杂煤层是由综合的异常来区分的(图 3, 8)。

γ - γ 电测曲线对于查明石灰岩顶底板的煤层具有很重要的意义。

这情况有如尼克道夫地質勘探队 1764 号鑽孔的 409.40 公尺深的地方(图 4)。

根据阿潤科夫地質勘探队的情况, 采用源强为 6 毫居里和源距为 50 公分所得的 γ - γ 测井結果是正确的(图 10)。 γ - γ 测井曲线上所有煤层都相符合。对于厚度在 30 公分以下的煤层的异常强度比对較厚煤层的强度低的多。鑽孔上部可采煤层表現的不很明显, 其原因可能是由于井径扩大的緣故。

当扩孔現象太多时, 在 γ - γ 测井曲線的煤层表現就不清楚。所以对于这种情况, γ - γ 测井法的效果就不怎么好。

当进行視电阻率曲綫和 γ - γ 测井曲綫及井径曲綫图的综合解释时, 正确的确定异常的深度和其正确的結合是具有很重要的意义的。如果曲綫結合的不正确, 就可能使解釋产生很严重的錯誤。現在举一个例子來說明这一点。在欧里浩瓦特斯克区有这样一种情况, 煤层 l_5 由两个具有可采厚度的分层組成, 这两个分层相距 8 公尺。当进行工作时, 1764 号鑽孔(图 4) 在深为 143 公尺处的异常首先解釋出了打丟的一个煤层, 因为在 γ - γ 测井曲綫上有异常产

生。在視电阻率曲线上也有异常的反映，結果証明这是由于有坚硬岩石之故。对視电阻率曲線（電位电极系曲線）及 $\gamma\text{-}\gamma$ 測井曲線进行仔細分析及精确的迭合以后，了解到 $\gamma\text{-}\gamma$ 測井曲線上的最大值位于視电阻率曲線最大值以下。

$\gamma\text{-}\gamma$ 測井曲線上的异常是由于井径扩大所造成的，这种井径的扩大根据电位电极系曲線可清楚地看出，后来又被井径曲線所証实。

在无烟煤煤田区， $\gamma\text{-}\gamma$ 測井曲線的效果是一样的。从1594号鑽孔（图8）图上可以看出，煤层 h_3 在 $\gamma\text{-}\gamma$ 測井曲線上表現的很明显，而在电位电极系曲線上則表現为零值，而在視电阻率上曲綫表現为极明显的大值。

在1580号鑽孔（图7）上可見到同样的情况。在曲綫图上，同样也可分出不可采厚度的煤层（这是鑽进时未查明的）。但是厚度不可采的某些煤层是看不出来的。在 $\gamma\text{-}\gamma$ 測井曲線上缺少这些个别不可采厚度的煤层的原因，尚未完全弄清。其原因可能在于記錄的速度，因为該速度已經超过了允許的速度。由于 $\gamma\text{-}\gamma$ 測井对薄煤层來說效果不好。特別是当記錄的速度很大时，舉動操作員的疏忽，这种遗漏是可能发生的。

还发现 $\gamma\text{-}\gamma$ 測井曲綫与煤的灰分有些联系。但对这一問題的解决还需要繼續研究。在原則上看来， $\gamma\text{-}\gamma$ 測井法应将煤层与碳質頁岩区分开，因为碳質頁岩的灰分很大，所以密度亦大。在某些图表上可發現某种規律性。例如，根据欧里何瓦特斯克区的1764号鑽孔（图4）， $\gamma\text{-}\gamma$ 測井曲綫上碳質頁岩的异常要比煤层的异常小些。例如，碳質

頁岩层 l_1'' 、 l_2'' 的强度比煤层 l_1'' 、 l_2 小得多。

γ - γ 测井在普查区的意义特别大，因为在普查区的含煤情况尚未完全搞清。

第二章 中子 γ 测井法

中子 γ 测井法的操作技术及其 PAPK型装置，与 γ - γ 测井法毫无区别。不同之点为中子 γ 测井法是采用鉢釤中子源作为放射源。

首先必须规定进行中子 γ 测井的技术条件，最初应当规定源距及记录比例。

源距是根据在尼克道夫地質勘探队1742号鑽孔(图14)完成中子横向测井工作的情况下确定的。已經了解到，对于2毫居里的源强(在制造时)来说，效果較好的是源距为40公分，在其他鑽孔进行中子 γ 测井时，我們也采用了这种源距。

曲綫記錄的比例是3，有一些比例是2，并用40毫伏的补偿器进行基底补偿。

对于记录速度及时间常数的試驗我們沒有进行。

中子 γ 测井結果請參閱各鑽孔的中子 γ 曲綫图。

对于尼克道夫地質勘探队的1742号鑽孔，曾进行了 γ 测井曲綫、中子 γ -85、65、60、40 的测井曲綫、中子 γ -40 曲綫及視电阻率曲綫(电位电极系)的比較。对于汗任科夫地質勘探队的2400号及2390号鑽孔，我們也作了中子 γ 曲綫及視电阻率曲綫(电位电极系)。

如果分析一下1742号鑽孔(图10)的曲綫，就可以看出， γ 測井曲綫和中子 γ -85測井曲綫的記錄形狀非常相似。无论是在 γ 測井曲綫或在中子 γ -85測井曲綫上，砂岩及石灰岩区的值均很小。煤层亦有此种異常現象，只是異常的寬度超过了煤层的厚度。

如果說在距計數管85公分的地方，放射源对于測井曲綫沒有显著的影响，那末，距離縮小时，就会出現相反的情况，即对中子 γ -40測井曲綫有极其显著的影响。

事實証明，在中子 γ -40測井曲綫上，砂岩和石灰岩具有强烈的正異常，并有較清楚的分界点。但是煤层的異常仍然較小。

觀察汗任科夫地質勘探队勘探区的2400号(图11)和2390号(图12)鑽孔的中子 γ 曲綫之后，可以看到同样的情况。中子 γ 曲綫形狀起伏不平，还有清楚的砂岩与石灰岩分界点。在这些鑽孔中，煤层的反映并不显著。

将中子 γ 曲綫与覩电阻率(电位电极系)曲綫相比較，可以看出是相当一致的。在某些情况下，中子 γ 測井曲綫对岩层的划分較电阻率曲綫(电位电极系)的地質剖面表現得更为清楚一些。但煤层例外，在中子 γ 測井曲綫上煤层表現得不清楚或者一点也看不出来。

中子 γ 測井曲綫的解釋步驟与电測井曲綫的解釋步驟一样。虽然在若干情况下，中子 γ 測井曲綫的起伏要比电位电极系曲綫的起伏强一些，但是当解釋中子 γ 測井曲綫时，是不能获得补充性的地質結果的。

关于查明含水层的問題，电測队并沒有解决。在作出

的曲綫中，曾注意到了用这一方法研究含水層問題的實質，砂岩和石灰岩被划分为不含氫的岩石，因而也就不是含水層。但是，大家都知道，在頓巴斯含水層就是石灰岩和砂岩。

在上述鑽孔中，石灰岩和砂岩是否是含水層很難肯定，因為沒有進行過專門的水文地質調查。

總 結

在總結中應當指出： γ - γ 測井法是提供鑽孔地質資料的全套測井工作當中不可缺少的一部分。 γ - γ 測井法的初步試驗雖然還有許多的問題還沒有解決，但是已證明了這一方法的效率是高的，因為這一方法大大地提高了電測結果的單值性，並且也縮短了與解釋視電阻率曲綫異常（最大值）有關的輔助操作時間。視電阻率曲綫和 γ - γ 曲綫上清楚的最大值如果一致，就是剖面中有煤層或碳質頁岩的證明。

當解釋電阻率曲綫上未被 γ - γ 測井曲綫的最大值所証實的其他異常（最大值）時，不須進行取樣工作。因為這显然是由於煤的圍岩所造成的。

在調查深部水平，特別是取樣工作不能獲得應有的結果時， γ - γ 測井法的效果將會增高。在視電阻率曲綫和 γ - γ 測井曲綫上，清楚的最大值如相一致，就是有煤層的證明。

試驗工作確定：源強為1—27毫居里的 γ - γ 曲綫具有